

تنزل بین زیرباند در چاه های کوانتمی باند هدایت

علی افضلی کوشان
استادیار

سید محمدجواد اخوت علیان
کارشناس ارشد

محمود کمره‌ای
دانشیار

گروه مهندسی برق و کامپیوتر، دانشکده فنی، دانشگاه تهران

چکیده

از تنزل حامل‌های بار بین زیرباندهای مختلف بلک چاه کوانتمی، می‌توان برای دستیابی به عملکرد لیزری استفاده نمود. به ویژه گسیل لیزری در محدوده مادون قرمز شدید (تراهرنز) طیف الکترومغناطیسی که با استفاده از نیمه‌هادی‌های بدنه‌ای قابل حصول نیست، یکی از موارد مهم کاربرد این گذرهاست. بنابر این، ابتدا انگیزه اصلی مطالعه این تنزل‌ها تشریح شده است. آن‌گاه، چهارچوب تئوری مورد استفاده برای محاسبه نرخ تنزل بیان گردیده است. در این قسمت، ضمن معرفی قانون طلایی فرهی، چاه‌های پتانسیل از نظر کوانتمی برسی شده و توابع موج و انرژی‌های مجاز برای ذره موجود در آنها بدست آمده است. سپس تنزل بین زیرباند در چاه‌های کوانتمی مربعی، مثلثی و پله‌ای GaAs مطالعه شده و نتایج بدست آمده، از نظر فیزیکی توجیه شده‌اند. همچنین، تنزل حامل‌ها در بلک چاه کوانتمی پله‌ای نامتقارن GaAs با هدف دستیابی به عملکرد لیزری برسی شده است.

Intersubband Transitions in Conduction-Band Quantum Wells

S. M. J. Okhovat-Alavian
M. Sc Student

A. Afzali-Kusha
Assistant Professor

M. Kamarei
Associate Professor

Department of Electrical and Computer Engineering,
University of Tehran

Abstract

The relaxations of charge carriers between different subbands of a quantum well can be used to achieve laser action. Especially, laser radiation in far-infrared of electromagnetic spectrum, which can not be achieved by bulk semiconductors, is one of the most important applications of these transitions. Therefore, the motivation of this study is first explained. Then, the theoretical framework for the relaxation rate calculations is developed. In this part, after introducing the Fermi Golden Rule, the quantum wells are studied using the quantum mechanics relations and the wave functions and energy levels for the present particle are calculated. Then, intersubband transitions in GaAs square, triangular and step quantum wells are studied and the results are physically interpreted. Finally, the relaxation of carriers in an asymmetric Ga-As quantum well with the purpose of achieving the laser action is investigated.

مقدمه

اختلال هایی (پدیده های پراکنده) نیز وجود داشته باشد، این اختلال ها قادر خواهند بود ذرات را از یک حالت به حالت کوانتومی دیگر منتقل نمایند.

یک پدیده پراکنده، با یک همیلتونین ($H_s(r, t)$) و یا در حالت ساده تر با یک تابع انرژی پتانسیل ($U(r, t)$) تعريف می شود. برای پراکنده های هارمونیک که با همیلتونین [۴ و ۵] :

$$H_s(r, t) = H_s(r) e^{\pm i\omega t} \quad (1)$$

معرفی می شوند، نرخ پراکنده ذرات از حالت کوانتومی k' به k ، با قانون طلایی فرمی داده می شود [۴ و ۵] :

$$S(k, k') = \frac{2\pi}{\hbar} |H_{k'k}|^2 \delta(E(k') - E(k) \mp \hbar\omega) \quad (2)$$

که در آن (E) ساختار باند سیستم و :

$$H_{k'k} = \int_{\Omega} \psi_{k'}^*(r) H_s(r) \psi_k(r) dr \quad (3)$$

المان ماتریسی همیلتونین مستقل از زمان پراکنده است.

در رابطه (۳)، ($\psi_k(r)$ و $\psi_{k'}(r)$) توابع موج مستقل از زمان ذره در حالت های اولیه نهایی k و k' هستند و Ω حجم کل سیستم می باشد. در رابطه (۲)، تابع دلتا بیانگر بقای انرژی است. در برهم کنش پدیده پراکنده و ذره، ممکن است انرژی ذره افزایش یا کاهش یابد. این اختلاف انرژی، با انرژی $\hbar\omega$ پدیده پراکنده برابر می باشد: علامت (-) جذب انرژی و (+) گسیل انرژی را بیان می دارد.

مکانیزم های پراکنده که در چامدات کریستالی با آنها مواجه هستیم همکی از نوع هارمونیک می باشند و بنابر این با استفاده از قانون طلایی فرمی، خواهیم توانست نرخ پراکنده بین هر دو حالت کوانتومی را بیابیم.

ب) توابع موج و انرژی های مجاز چاه های کوانتومی
در یک ساختار کریستالی بدنی ای، تابع انرژی پتانسیل حاکم بر ذره یک تابع متناوب سه بعدی با دوره تناوب شبکه کریستالی است. در ساختارهای کریستالی چاه کوانتومی، که حرکت حامل ها در جهت z محدود

مطالعه گذرهای بین زیرباند در چاه های کوانتومی موضوعی است که عمدتاً به دلیل کاربرد آن در ساخت لیزرهای مادون قرمز شدید مورد توجه قرار دارد.

در یک لیزر، تنزل حامل های بار از یک موقعیت انرژی بالا به یک موقعیت انرژی پایین، که توسط فوتون ها القا می شود، موجب تولید یک تابش همدوش تک فرکانس می گردد. هر سیستم کوانتومی که دارای موقعیت های انرژی گسسته باشد، می تواند به منظور عملکرد لیزری مورد توجه باشد. نیمه هادی ها با توجه به تکنولوژی ساخت آسان و متداول آنها، یکی از بهترین انتخاب ها هستند. در این مواد از باند هدایت به عنوان موقعیت انرژی بالا و از باند ظرفیت به عنوان موقعیت انرژی پایین استفاده می شود و به این ترتیب، انرژی هر فوتون تابش گسیل یافته و در نتیجه فرکانس تابش لیزری توسط باند ممنوع نیمه هادی تعیین می گردد. برای تولید گسیل لیزری در محدوده مادون قرمز شدید طیف الکترومغناطیسی، که کاربردهای فراوانی در طیف نمایی، نجوم رادیوئی، مخابرات فضایی و حسگرهای دارد، به اختلاف انرژی هایی در سطح چند ده میلی الکترون ولت نیاز است. اگرچه با نیمه هادی های مرکب II-VI می توان به باند ممنوع در همین حد انرژی دست یافت [۱]، اما به دلیل متداول نبودن تکنولوژی ساخت، ناهمکن بودن کریستال رشد یافته [۲] و حساسیت حرارتی زیاد فرکانس لیزر ساخته شده از این مواد [۲]، تاکنون دستیابی به عملکرد لیزری در محدوده مادون قرمز شدید تنها با منابع گازی امکان پذیر بوده است.

در چاه های کوانتومی، به دلیل محدود بودن حرکت حامل ها در یک بعد (z ، هر یک از باندهای انرژی هدایت و ظرفیت به زیرباندهایی تبدیل می شوند که فاصله انرژی آنها بستگی به عرض و شکل چاه دارد. در این ساختارها، اختلاف انرژی لازم برای دستیابی به طول موج های مادون قرمز قابل حصول است. برای بررسی امکان سنجی ساخت لیزر، مطالعه گذر بین زیرباند ضروری می باشد.

۲- چهار چوب تئوری الف) پراکنده

در یک سیستم کوانتومی که با یک همیلتونین مستقل از زمان توصیف شده است، حالت کوانتومی ذرات با گذشت زمان تغییر نمی کند. اما اگر در این سیستم

که توابع (z) f_n و مقادیر ویژه انرژی E_n در معادله:

$$-\frac{\hbar^2}{2m^*} \frac{d^2}{dz^2} f_n(z) + U(z) f_n(z) = E_n f_n(z) \quad (9)$$

صدق می‌کنند. عدد کوانتومی گستته n به همراه بردار موج صفحه‌ای k_p حالت کوانتومی ذره را مشخص می‌کنند. با توجه به گستته بودن مقادیر E_n ، رابطه (8) - (b) بیان می‌دارد که ساختار باند به صورت زیرباندهایی است که هر یک از آنها متناظر با یک مقدار n می‌باشد. برای چاه‌های کوانتومی باند هدایت که مورد مطالعه ما هستند، وابستگی $E(k_p)$ به بردار موج k_p ، سهموی فرض می‌شود:

$$E(k_p) = \frac{\hbar^2 k_p^2}{2m^*} \quad (10)$$

در مقایسه با توابع بلاخ سه بعدی $(e^{ik_p r} u_k(r))$ ، سلول مرکزی (ρ) در چاه‌های کوانتومی، یک تابع دو متغیره است و در ضمن $e^{ik_p z}$ نیز با تابع پوش (z) f_n ، که تابع شکل چاه است، جایگزین شده است. عدد کوانتومی گستته n ، که از محدودیت حرکت ذرات در جهت z ناشی شده است، همان نقش مؤلفه z بردار موج ذرات موجود در ساختارهای بدنه‌ای را ایفا می‌کند.

ج) پراکندگی در چاه‌های کوانتومی

برای محاسبه نرخ پراکندگی، لازم است ابتدا المان ماتریسی همیلتونین پراکندگی محاسبه شود. با جایگزینی تابع موج (8) -الف در رابطه (3) و با این فرض که پراکندگی با یک تابع انرژی پتانسیل (r) $U_s(r)$ بیان شود $(H_s(r) = U_s(r))$ ، داریم:

$$H_{n'k_p, nk_p} = \int_{\Omega} e^{-ik_p \cdot r} f_{n'}(z) u_{k_p}^*(\rho) U_s(r) e^{-ik_p \cdot \rho} f_n(z) u_{k_p}(\rho) dr \quad (11)$$

این، المان ماتریسی پتانسیل پراکندگی بین حالت اولیه $n'k_p$ و حالت نهایی nk_p در چاه‌های کوانتومی است. با گسترش متنابوب (r) $U_s(r)$ در تمام فضا، به گونه‌ای که حجم چاه یک دوره تناوب آن باشد، می‌توان مقادیر این تابع را با بسط فوریه آن نمایش داد:

$$U_s(r) = \sum_g A_g e^{ig \cdot r} \quad (12)$$

شده است، تابع انرژی پتانسیل در هر نقطه از عرض چاه، تابعی متنابوب در صفحه xy است و می‌توان آن را به فرم $[6]$:

$$V(r) = U(z) + V_{xy}(x, y) \quad (4)$$

نوشت که در آن (z) U مشخصه چاه و $V_{xy}(x, y)$ یک تابع متنابوب دو بعدی است. بتابر این همیلتونین مستقل از زمان سیستم به فرم زیر است:

$$H = \left[-\frac{\hbar^2}{2m^*} \nabla_{\rho}^2 + V_{xy}(\rho) \right] + \left[-\frac{\hbar^2}{2m^*} \frac{\partial^2}{\partial z^2} + U(z) \right] \quad (5)$$

که در آن $(x, y) = \rho$. از آنجا که متغیرهای ρ و z در همیلتونین سیستم از هم جدا شدند، تابع موج ذره را به فرم:

$$\psi(r) = \varphi(\rho) f(z) \quad (6)$$

در نظر می‌گیریم. در نتیجه:

$$-\frac{\hbar^2}{2m^*} \nabla_{\rho}^2 \varphi(\rho) + V_{xy}(\rho) \varphi(\rho) = E_{xy} \varphi(\rho) \quad (7)$$

$$-\frac{\hbar^2}{2m^*} \frac{d^2}{dz^2} f(z) + U(z) f(z) = E_z f(z) \quad (8)$$

$$E = E_{xy} + E_z \quad (9)$$

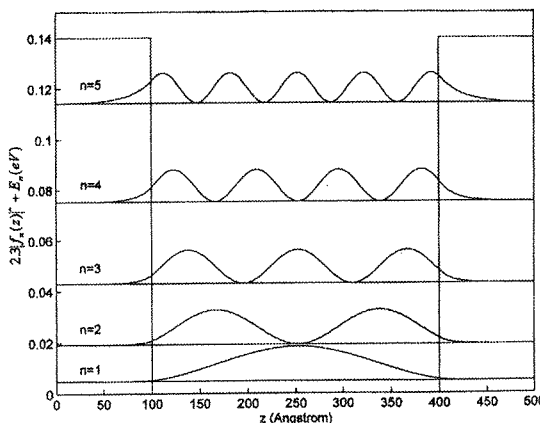
که در آن E انرژی کل ذره است. با توجه به متنابوب بودن $V_{xy}(x, y)$ ، تابع موج از نظر فیزیکی قابل قبول $(\varphi(\rho))$ به صورت امواج بلاخ دو بعدی $e^{ik_p \cdot \rho} u_{k_p}(\rho)$ هستند $[7]$ که در آن، $k_p = k_x \hat{a}_x + k_y \hat{a}_y$ بردار موج صفحه‌ای است. به این ترتیب مقادیر انرژی E_{xy} را می‌توان با فرم مناسبت تر (k_p) E نشان داد. همچنین مقادیر ویژه انرژی به دلیل مشخصه (z) چاه، گستته می‌باشند. به این ترتیب تابع موج (r) $U_s(r)$ و انرژی‌های مجاز E به صورت زیر هستند:

$$\psi_{nk_p}(r) = e^{ik_p \cdot \rho} f_n(z) u_{k_p}(\rho) \quad (8)$$

$$E = E_n + E(k_p) \quad (8)$$

۳- تنزیل بین زیرباند در چاه های کوانتومی (الف) توابع پوش و انرژی های مجاز

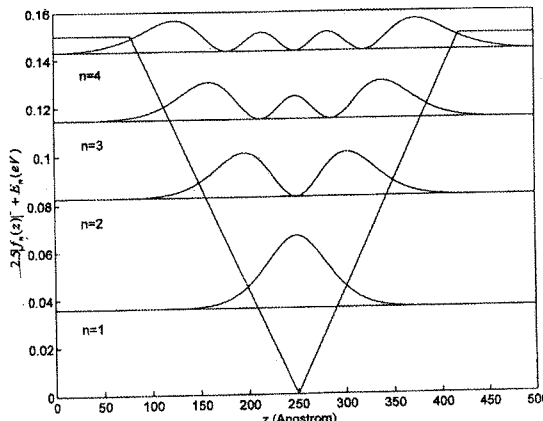
باقوچه به مطالبی که تاکنون گفته شد، برای محاسبه پراکندگی در چاه های کوانتومی، لازم است توابع پوش $f_n(z)$ و مقادیر ویژه انرژی E_n زیرباندهای مختلف را در اختیار داشته باشیم. این دو پارامتر، پاسخ های معادله (۹) هستند. برای حل عددی این معادله بازای یک $U(z)$ دلخواه، گستره تغییرات z را مش بندی کرده و آنگاه از معادله در هر نقطه مش استفاده می نماییم. مشتقات اول و دوم تابع (z) در یک نقطه مش را می توان بر حسب مقادیر این تابع در نقاط مش مجاور تقریب زد [۹] :



شکل (۱) چاه پتانسیل مربعی، توابع پوش و مقادیر ویژه انرژی.

انرژی ها بر حسب الکترون - ولت عبارتند از:

$$E_1 = 0.004834, E_2 = 0.01925, E_3 = 0.04292, \\ E_4 = 0.07516, E_5 = 0.1142$$



شکل (۲) چاه پتانسیل مثلثی، توابع پوش و مقادیر ویژه انرژی.

انرژی ها بر حسب الکترون - ولت عبارتند از:

$$E_1 = 0.03599, E_2 = 0.08268, E_3 = 0.1147, \\ E_4 = 0.1432,$$

$$A_g = \frac{1}{\Omega} \int_{\Omega} U_s(r) e^{-ig \cdot r} dr \quad (12 - b)$$

با جایگزینی این بسط در رابطه (۱۱) و جداسازی انتگرال گیری بر روی متغیرهای ρ و z داریم:

$$H_{n'k'_\rho, nk_\rho} = \sum_{g_z} \sum_{g_\rho} A_{g_\rho, g_z} \left(\int_W f_{n'}^*(z) e^{ig_z z} f_n(z) dz \right) \times \left(\int_S e^{-ik'_\rho \cdot \rho} u_{k'_\rho}^*(\rho) e^{ig_\rho \cdot \rho} e^{ik_\rho \cdot \rho} u_{k_\rho}(\rho) d\rho \right) \quad (13)$$

که در آن $g_\rho = g_{k_\rho}$ و $g_z = g_{k_z}$ مؤلفه های بردار g بوده و $u_{k_\rho}(\rho)$ و $u_{k_z}(\rho)$ اینکه بردارهای k'_ρ و k_ρ متعلق به ناحیه بریلیون اول هستند، انتگرال پرانترز دوم رابطه (۱۳) فقط هنگامی مخالف صفر است که [۴] :

$$g_\rho = k'_\rho - k_\rho \quad (14)$$

و بنابر این از رابطه (۱۳) می توان نتیجه گرفت که:

$$H_{n'k'_\rho, nk_\rho} = \sum_{g_z} A_{k'_\rho - k_\rho, g_z} \left(\int_W f_{n'}^*(z) e^{ig_z z} f_n(z) dz \right) I(k'_\rho, k_\rho) \quad (15)$$

که در آن:

$$I(k'_\rho, k_\rho) = \int_S u_{k'_\rho}^*(\rho) u_{k_\rho}(\rho) d\rho \quad (16)$$

انتگرال همپوشانی سلول های مرکزی تابع موج است و برای حامل های بار باند هدایت برابر با واحد فرض می شود [۸]. با فرض به اندازه کافی بزرگ بودن عرض چاه، می توان جمع بندی بر روی g را به انتگرال گیری تبدیل نمود:

$$H_{n'k'_\rho, nk_\rho} = \int_{-\infty}^{+\infty} \left(\frac{1}{\Omega} \int_{\Omega} e^{-ik'_\rho \cdot \rho} U_s(r) e^{-ig_z z} e^{ik_\rho \cdot \rho} dr \right) \times \left(\int_W f_{n'}^*(z) e^{ig_z z} f_n(z) dz \right) \frac{W}{2\pi} dg_z \quad (17)$$

که در آن $A_{k'_\rho - k_\rho, g_z}$ را با استفاده از رابطه (۱۲ - b) جایگزین کرده ایم. با استفاده از این رابطه می توان المان ماتریسی هر مکانیزم پراکندگی را محاسبه و آنگاه با استفاده از قانون طلایی فرمی، نرخ گذر از یک حالت به حالت کوانتومی دیگر را به دست آورد.

پراکندگی توسط فونون‌ها محاسبه می‌شود:

$$H_{nk_p, nk_p} = C(q) \delta(k'_p - k_p + q_p) \times \int_W f_n^*(z) e^{\pm iq_z z} f_n(z) dz \quad (21)$$

در این رابطه، q_p مؤلفه صفحه‌ای و q_z مؤلفه z بردار موج فونون است و $q = q_p + q_z \hat{a}_z$. در ضمن وجودتابع دلتا پایستار بودن بردار موج صفحه‌ای را بیان می‌کند. با جایگزینی این المان ماتریسی در قانون طلایی فرمی، می‌توان نرخ پراکندگی از حالت nk_p به حالت کوانتومی $n'k'$ را یافت:

$$S(nk_p, n'k'_p) = \frac{2\pi}{\hbar} |C(q)|^2 \left| \int_W f_n^*(z) e^{\pm iq_z z} f_n(z) dz \right|^2 \delta(k'_p - k_p + q_p) \delta(E_{n'} + E(k'_p) - E_n - E(k_p) + \hbar\omega(q)) \quad (22)$$

اگر بخواهیم نرخ پراکندگی از حالت کوانتومی k_p یک زیرباند به تمام حالت‌های کوانتومی یک زیرباند دیگر را محاسبه کنیم، باید با ثابت فرض کردن n', n و k_p ، بر روی تمام k ‌ها جمع‌بندی نماییم. یک جمع‌بندی دیگر نیز بر روی q_z لازم است تا اثر فونون‌های با بردارهای موج مختلف محاسبه شده باشد. انجام این جمع‌بندی‌ها به دلیل وجود ضرب دو تابع دلتا در عبارت (22) امکان پذیر نیست. اما اگر دقت کنیم که دلتای اول بیانگر پایستار بودن بردار موج صفحه‌ای و دلتای دوم بیانگر پایستاری انرژی است، آنگاه می‌توان با تلفیق این اصول دست یافته. به این ترتیب ضرب دو تابع دلتا با یک تابع دلتا که همان مفهوم فیزیکی را می‌رساند جایگزین می‌شود. برای زیرباندهای سهمی باند هدایت (رابطه ۱۰)، خواهیم داشت [۴]:

$$\delta(k'_p - k_p + q_p) \delta(E_{n'} + E(k'_p) - E_n - E(k_p) + \hbar\omega(q)) = \frac{m^*}{\hbar^2 k_p q_p} \delta \left(\pm \cos \theta + \frac{1}{2} q_p / k_p + \frac{m^*}{\hbar^2} (E_{n'} - E_n + \hbar\omega(q)) / (k_p / q_p) \right) \quad (23)$$

در این محاسبه k_p را بر محور q_x فضای q منطبق گرفته‌ایم. با استفاده از این رابطه در رابطه (22):

$$S(nk_p, n'k'_p) = \frac{2\pi m^*}{\hbar^3 k_p} |C(q)|^2 \left| \int_W f_n^*(z) e^{\pm iq_z z} f_n(z) dz \right|^2 \times$$

$$f'_n(z_i) = \frac{f_n(z_{i+1}) - f_n(z_{i-1})}{2\Delta z} \quad (18 - \text{الف})$$

$$f''_n(z_i) = \frac{f_n(z_{i-1}) - 2f_n(z_i) + f_n(z_{i+1})}{(\Delta z)^2} \quad (18 - \text{ب})$$

که در آن Δz فاصله نقاط مش است (مشبندی یکنواخت). با استفاده از این روابط در رابطه (۹) داریم:

$$\begin{aligned} & \left[\frac{-\frac{\hbar^2}{2m^*}}{(\Delta z)^2} \right] f_n(z_{i-1}) + \left[\frac{\frac{\hbar^2}{m^*}}{(\Delta z)^2} + U(z_i) \right] f_n(z_i) + \\ & \left[\frac{-\frac{\hbar^2}{2m^*}}{(\Delta z)^2} \right] f_n(z_{i+1}) = E_n f_n(z_i) \end{aligned} \quad (19)$$

با نوشتن این معادله برای تمام نقاط مش، به یک دستگاه معادلات خطی مقدار ویژه می‌رسیم که با حل آن می‌توان توابع پوش $f_n(z)$ در هر نقطه مش و مقادیر ویژه انرژی E_n را بدست آورد. شکل‌های ۱ و ۲ نتیجه این محاسبه را برای دو چاه کوانتومی مربعی و مثلثی نشان می‌دهد. ماده تشکیل دهنده چاه GaAs فرض شده است $(m^* = 0.067m_0)$.

ب) نرخ تنزل حامل‌ها

با استفاده از قانون طلایی فرمی می‌توان نرخ گذر حامل‌های بار از هر حالت کوانتومی اولیه $n'k'$ به هر حالت کوانتومی نهایی $n'k'$ را تحت تأثیر یک مکانیزم پراکندگی دلخواه یافت. اما هنگامی که گذر بین زیرباندها را مطالعه می‌کنیم، حالت اولیه در یک زیرباند و حالت نهایی در یک زیرباند دیگر خواهد بود و گذر حامل‌های بار با تغییر انرژی همراه است (البته به جز گذرهای بین زیرباندی که در نمودار $E(k_p)$ به صورت افقی رخ می‌دهند). بنابراین در بین مکانیزم‌های پراکندگی درونی یک چاه کوانتومی (اتم‌های یونیزه، فونون‌ها، حامل‌های بار و ...)، تنها به مکانیزم‌های پراکندگی غیرالاستیک علاقمندیم که مهمترین آنها پراکندگی توسط فونونهاست. پتانسیل پراکندگی مستقل از زمان انواع مختلف فونون‌ها را می‌توان با فرم کلی [۱۰]:

$$U_s(r) = C(q) e^{\pm iq_r r} \quad (20)$$

نمایش داد. $C(q)$ فونون‌های مختلف در پیوست آمده است. با جایگزینی رابطه (۲۰) در رابطه (۱۷) و استفاده از ویژگی‌های تابع دلتای دیراک، المان ماتریسی

پراکندگی تبیین نماییم. منحنی های شکل های ۲ و ۴ نشان می دهند که با دور شدن بردار موج اولیه الکترون (\mathbf{k}_p) از مرکز ناحیه بریلیون، نرخ پراکندگی توسط فونون های آکوستیک افزایش و فونون های نوری قطبی کاهش می یابد. این به دلیل آن است که گذر از \mathbf{k}_p یک زیرباند به حالت های کوانتمی زیرباند دیگر، محتاج تغییر بیشتر بردار موج الکترون است. چون این تغییر بردار موج را باید فونون تأمین کند، بنابر این فونون های با بردار موج بزرگتر در پراکندگی شرکت می کنند. حال چون پراکندگی توسط فونون های آکوستیک با اندازه بردار موج فونون نسبت مستقیم و پراکندگی توسط فونون های نوری قطبی با توان دوم اندازه بردار موج نسبت معکوس دارد، بزرگتر بودن بردار موج فونون، افزایش نرخ پراکندگی فونون های آکوستیک و کاهش آن را برای فونون های نوری در پی خواهد داشت. مطلب قابل توجه دیگر آنکه با افزایش فاصله زیرباندها، نرخ تنزل برای فونون های آکوستیک افزایش و برای فونون های نوری قطبی کاهش یافته است. این به دلیل آن است که هر چه فاصله زیرباندها بیشتر باشد، گذر بین زیرباند حامل ها مستلزم تغییر بردار موج بیشتری است و با استدلال مشابه آنچه در بالا گفته می شود که برای فونون های آکوستیک افزایش و فونون های نوری قطبی کاهش یابد. در شکل (۴ - ب) دیده می شود که برای \mathbf{k} های کوچک، نرخ گذر از زیرباند چهارم به سوم چاه کوانتمی شکل ۲ توسط فونون های نوری صفر است. همانگونه که می دانیم، تنزل توسط فونون های نوری با تغییر انرژی ثابت ω_0 ثابت است [۱۰]. حال اگر فاصله انرژی موقعیت کوانتمی اولیه الکترون (یک \mathbf{k}_p خاص در زیرباند اولیه) و هیچیکی از موقعیت های کوانتمی زیرباند مقصد با این مقدار انرژی برابر نباشد، آنگاه هیچ تنزلی مجاز نبوده و نرخ پراکندگی صفر خواهد بود. در چاه کوانتمی شکل ۲، فاصله انرژی عمودی زیرباندهای ۲ و ۴ کوچکتر از انرژی فونون های نوری است. بنابر این گذر از زیرباند ۴ بازی بازای \mathbf{k}_p های کوچک امکان پذیر نیست. با افزایش \mathbf{k}_p ، فاصله انرژی موقعیت های کوانتمی زیرباند ۴ با ته زیرباند ۳ افزایش یافته و از یک \mathbf{k}_p خاص به بعد، گذر حامل های بار به زیرباند ۲ امکان پذیر خواهد بود.

طبق رابطه (۲۵)، عامل دیگری که در پراکندگی حامل های بار از یک زیرباند به زیرباند دیگر مؤثر است، عبارت $\left| \int_w f_{n'}^*(z) e^{\pm i q z} f_n(z) dz \right|$ می باشد که میزان

$$\frac{1}{q_p} \delta \left(\mp \cos \theta + \frac{1}{2} q_p / k_p + \frac{m^*}{\hbar^2} (E_{n'} - E_n \mp \hbar \omega(q)) / (k_p / q_p) \right) \quad (24)$$

در این رابطه دیگر \mathbf{k}' وجود ندارد. ولی می توان به جای آن بر روی q_p جمع بندی نمود (با توجه پایستاری بردار موج صفحه ای، \mathbf{k}' و q_p از طریق رابطه خطی $\mathbf{k}' = \mathbf{k} \pm q_p$ به یکدیگر مربوط می شوند). با انجام جمع بندی بر روی q_p (در مختصات قطبی) و q_z ، خواهیم داشت:

$$W_{nn'}(\mathbf{k}_p) = \frac{m^*}{\hbar^3 k_p} \frac{\Omega}{(2\pi)^2} \int_{-\pi/a}^{\pi/a} \left[\int_0^{2\pi} \left(\int_0^{\pi/a} \right) |C(\mathbf{q})|^2 \times \left| \int_w f_{n'}^*(z) e^{\pm i q z} f_n(z) dz \right|^2 \delta \left(\pm \cos \theta + \frac{1}{2} q_p / k_p + \frac{m^*}{\hbar^2} (E_{n'} - E_n \mp \hbar \omega(q)) / (k_p / q_p) \right) dq_z \right] \quad (25)$$

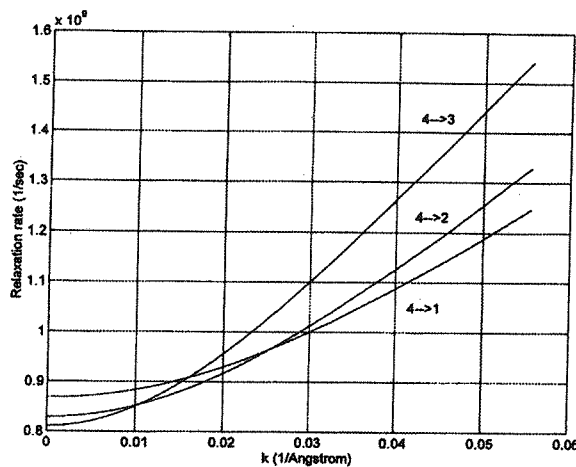
$W_{nn'}(\mathbf{k}_p)$ نرخ کل گذر از حالت کوانتمی \mathbf{k} زیرباند ۲ به تمام حالت های کوانتمی زیرباند ۱ تحت تأثیر فونون ها را در اختیار قرار می دهد. با جایگزینی (\mathbf{q}) مربوط به هر فونون (پیوست)، می توان عبارت فوق را محاسبه نمود. در شکل های ۳ و ۴ نرخ تنزل بین زیرباندهای چاه های کوانتمی شکل های ۱ و ۲ در اثر فونون های آکوستیک طولی (LA) و فونون های نوری قطبی طولی (PLO) نشان داده شده است. از آنجا که گذر حامل های بار از زیرباندهای بالا به پایین را مطالعه می کنیم (تنزل)، از میان پدیده های جذب و گسیل، تنها گسیل فونون را در نظر گرفته ایم. در ضمن برای مقاییر پارامترهایی که در پراکندگی ها لازم است، از [۱۱] استفاده شده است.

ج) بررسی فیزیکی

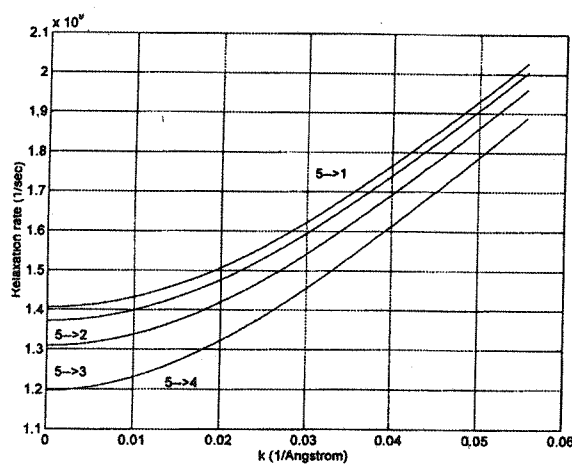
ماده مورد مطالعه ما GaAs و مشتقات آن است. در این مواد پراکندگی توسط فونون های آکوستیک طولی (LA) و نوری قطبی طولی (PLO) مورد توجه است [۱۱]. ضمن آنکه پراکندگی توسط فونون های نوری قطبی از بقیه مکانیزم های پراکندگی بسیار قویتر می باشد. با در نظر گرفتن روابط (۱) و (۴)، که ضریب ($C(\mathbf{q})$) این دو مکانیزم را در اختیار قرار می دهد، می توانیم استدلالات توجیهی خود را برای توصیف منحنی های

توابع پوش زیرباندهای درون چاه کوچکتر و توابع پوش زیرباندهای چاه بزرگتر کمتر می‌شود و انتظار داریم نرخ تنزل بین زیرباندهای بیرون و درون چاه کمتر شود. در شکل ۶ نرخ تنزل حامل‌ها از زیرباند ۳ به زیرباند ۲ برای هر یک از این چاه‌ها رسم شده و همانگونه که انتظار داریم، نرخ تنزل برای چاه نامتقارن کوچکتر می‌باشد.

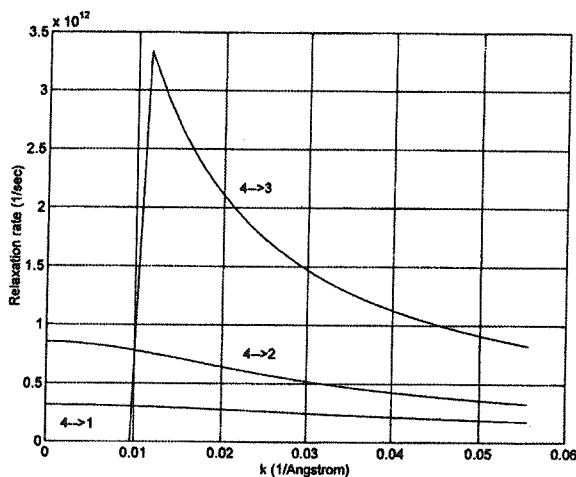
همپوشانی توابع پوش زیرباند مبدأ و مقصد را بیان می‌نماید. برای مشاهده اثر این عامل، چاه‌های کوانتمی پله‌ای نشان داده شده در شکل ۵ را در نظر می‌گیریم. شکل (۵ - الف)، یک چاه متقارن می‌باشد. در چاه شکل (۵ - ب) سعی شده با ایجاد عدم تقارن، میزان همپوشانی بین توابع پوش تغییر کند (کمتر شود) تا به این ترتیب بتوان اثر انگرال گفته شده را مطالعه نمود. همانگونه که مشاهده می‌شود، در اثر عدم تقارن، همپوشانی بین



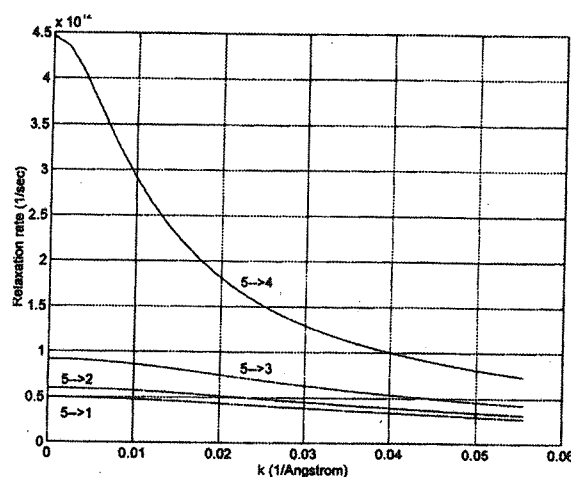
(الف) پراکندگی توسط فونون‌های آکوستیک طولی (LA).



(الف) پراکندگی توسط فونون‌های آکوستیک طولی (LA).



(ب) پراکندگی توسط فونون‌های نوری قطبی طولی (PLO).

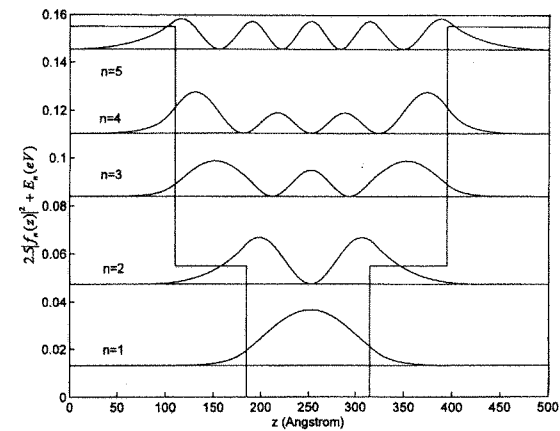


(ب) پراکندگی توسط فونون‌های نوری قطبی طولی (PLO).

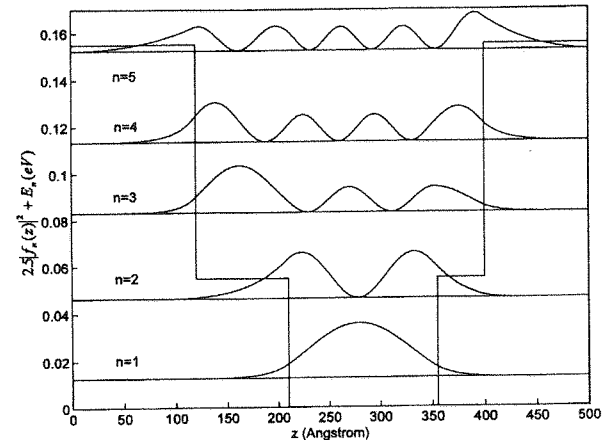
شکل (۳) نرخ تنزل بین زیرباندهای چاه کوانتمی مثلثی شکل ۲.

شکل (۳) نرخ تنزل بین زیرباندهای چاه کوانتمی مربعی شکل ۱.

همانگونه که قبلاً گفته شد، یکی از کاربردهای مهم گذرهای بین زیرباند، دستیابی به عملکرد لیزری در محدوده مادون قرمز شدید است. اکنون به عنوان یک مثال، ساختار چاه کوانتومی شکل (۵ - ب) را در نظر می‌گیریم. برای دستیابی به عملکرد لیزری بین زیرباندهای $n=1$ و $n=2$ ، باید نرخ تنزل بین این دو زیرباند کوچک باشد تا پس از ایجاد وارونگی جمعیت، این وارونگی برای مدت زمان مناسبی حفظ شود تا بتوان فرایند گسیل القایی را انجام داد. به نظر می‌رسد در چاه کوانتومی شکل (۵ - ب)، انتخاب زیرباندهای ۲ و ۳ برای این منظور مناسب باشد، زیرا محدود شدن زیرباند ۲ به چاه کوچکتر، موجب کم شدن همپوشانی بین تابع پوش این زیرباند و زیرباندهای بالاتر (و از جمله زیرباند ۳) می‌شود که این خود نرخ تنزل را کوچک می‌کند. حال فرض می‌کنیم وارونگی جمعیت با پمپ شدن حامل‌ها از زیرباند ۱ (که در شرایط تعادل حرارتی، به علت پایین بودن سطح انرژی، حامل‌های بار بیشتری در مقایسه با زیرباندهای بالاتر دارد) به زیرباند ۵ و آنگاه تنزل آنها به زیرباندهای ۴ و ۳ تحقق یابد. حامل‌های روی زیرباند ۵ (یا ۴) علاوه بر تنزل به زیرباند ۳، می‌توانند مستقیماً به زیرباند ۲ نیز تنزل یابند. اما اولاً زیرباند ۲ درون چاه کوچکتر جایگزیده است و بنابر این همپوشانی بین تابع پوش آن با زیرباندهای ۴ و ۵ کمتر از همپوشانی بین تابع پوش زیرباند ۳ و زیرباند ۲ است. ثانیاً به دلیل فاصله انرژی بیشتر زیرباند ۲ با زیرباندهای ۴ و ۵ (در مقایسه با فاصله انرژی کمتر زیرباند ۲ و زیرباندهای ۴ و ۵)، تنزل حامل‌ها از زیرباندهای ۵ و ۴ به زیرباند ۲ مستلزم تغییرات بزرگتر بردار موج حاملهاست. حال از آنجا که حامل‌های بار عمدتاً به واسطه بر هم کنش با فونون‌های نوری قطبی پراکنده می‌شوند، تغییر بزرگتر بردار موج به مفهوم نرخ تنزل کمتر است. در شکل (۷ - الف) و (۷ - ب) به ترتیب نرخ تنزل از زیرباندهای ۵ و ۴ به زیرباند ۲ و ۳ با یکدیگر مقایسه شده و ملاحظه می‌شود که تنزل به زیرباند ۳ سریعتر است. مطلب دیگری که برای عملکرد لیزری مناسب است بررسی شود، تنزل حامل‌ها به زیرباند ۱ است. مطلوب آن است که پس از آنکه حامل‌ها به واسطه گسیل القایی به زیرباند ۲ تنزل یافتند، به سرعت به زیرباند ۱ تنزل یابند تا دوباره در فرایند پمپ شدن شرکت نمایند. در شکل (۷ - ج) نرخ تنزل از زیرباند ۲ به ۱ با نرخ تنزل از ۳ به ۱ مقایسه شده است.

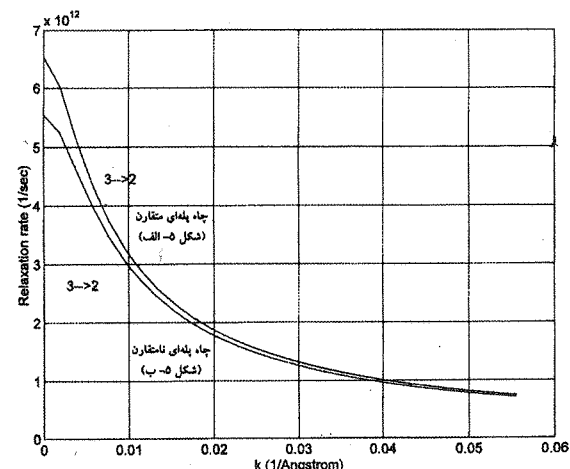


الف) چاه پله‌ای متقارن.



ب) چاه پله‌ای نامتقارن.

شکل (۵) چاه‌های کوانتومی پله‌ای، توابع پوش و انرژی‌های مجاز.



شکل (۶) اثر همپوشانی توابع پوش در نرخ تنزل بین زیرباندها.

۴- خلاصه

روابط پراکندگی را برای سیستم چاه کوانتوسیومی به صورت دقیق تبیین نمودیم و با استفاده از آنها تنزل بین زیرباندهای چاه‌های کوانتوسیومی باند هدایت را مطالعه کردیم. برای چند چاه کوانتوسیومی، GaAs ، این نرخ‌ها را محاسبه کرده و ملاحظه کردیم که با تغییر شکل چاه می‌توان سرعت تنزل حامل‌ها بین زیرباندهای مختلف را تغییر داد. همچنین عملکرد لیزری در یک چاه پله‌ای نامتقارن مطالعه شد. در بررسی فیزیکی خود سعی کردیم به یک درک شهودی نسبت به برهمنش بین فونون‌ها و حامل‌های بار زیرباندهای مختلف دست یابیم. در این مطالعه، ملاحظه عملی خاصی در مورد عرض چاه، بزرگی سدهای پتانسیل، وجود نقص‌های کریستالی و بارهای سطحی موجود در فصل مشترک لایه‌ها و تأثیر این پارامترها در پراکندگی حامل‌های بار نداشته ایم که می‌تواند در کارهای بعدی مدنظر باشد. وجود یا عدم وجود یک مکانیزم پراکندگی و پارامترهای پراکندگی‌های گوناگون، تابع نوع ماده است که می‌تواند مورد مطالعه قرار گیرد. در مطالعه خود از پتانسیل‌های پراکندگی مربوط به یک ساختار کریستالی بدنه‌ای استفاده کردیم که اگر عرض چاه کوچک باشد، استفاده از این پتانسیل‌ها مجاز نبوده و روابط نیاز به اصلاح دارد.

پیوست

ضریب (q) در رابطه (۲۰) برای فونون‌های مختلف به صورت زیر است [۱۰] :

- تقریب پتانسیل تغییر شکل (فونون‌های آکوستیک) :

$$C_{AP}(q) = D_A \left(\frac{\hbar}{2\omega\rho\Omega} \right)^{\frac{1}{2}} \left(N(\omega) + \frac{1}{2} + \frac{1}{2} \right)^{\frac{1}{2}} |q| \quad (1)$$

- تقریب پتانسیل تغییر شکل (فونون‌های نوری) :

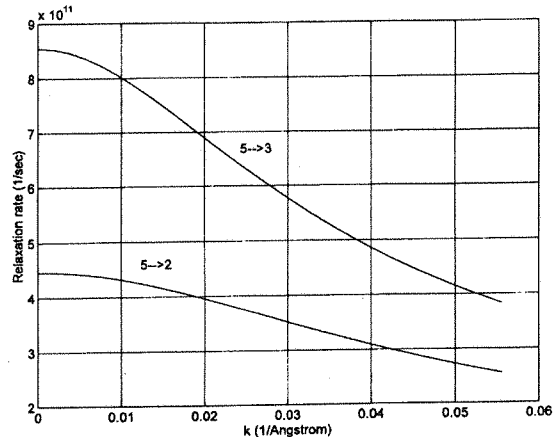
$$C_{OP}(q) = D_O \left(\frac{\hbar}{2\omega\rho\Omega} \right)^{\frac{1}{2}} \left(N(\omega) + \frac{1}{2} + \frac{1}{2} \right)^{\frac{1}{2}} \quad (2)$$

- پراکندگی پیزوالکتریک (فونون‌های آکوستیک) :

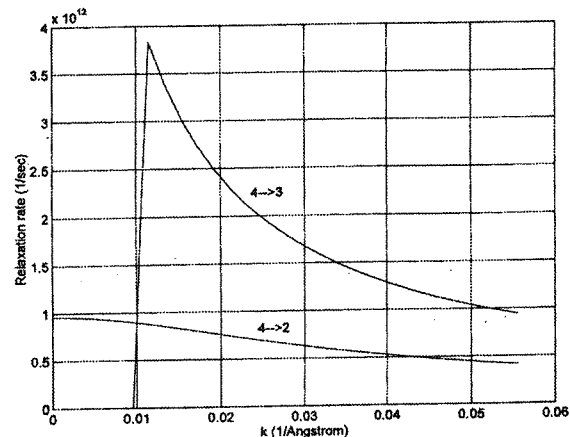
$$C_{PAP}(q) = \frac{qe_{pz}}{\epsilon(0)} \left(\frac{\hbar}{2\omega\rho\Omega} \right)^{\frac{1}{2}} \left(N(\omega) + \frac{1}{2} + \frac{1}{2} \right)^{\frac{1}{2}} \quad (3)$$

- پراکندگی قطبی (فونون‌های نوری) :

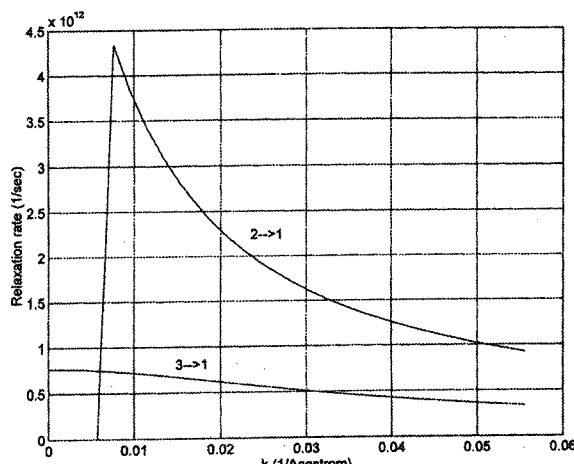
که عملکرد مناسبی را نشان می‌دهد. کم بودن نرخ تنزل از ۳ به ۱ به دلیل فاصله زیاد این دو زیرباند و همچنین محدود بودن زیرباند ۱ در چاه کوچکتر است.



(الف) تنزل از زیرباند ۵.



(ب) تنزل از زیرباند ۴.



(ج) تنزل از زیرباندهای ۳ و ۲ به زیرباند ۱.

شکل (۷) تنزل در چاه نامتقارن شکل ۵ - ب.

$$C_{POP}(q) = \frac{iq\omega^{\frac{1}{2}}}{|q|} \left(\frac{\hbar}{2\Omega} \right)^{\frac{1}{2}} \times \left(N(\omega) + \frac{1}{2} - \frac{1}{2} \right)^{\frac{1}{2}} \left[\frac{1}{\epsilon(\infty)} - \frac{1}{\epsilon(0)} \right]^{\frac{1}{2}} \quad (4)$$

Deformation Potential	پتانسیل تغییر شکل
Harmonic Scattering	پراکندگی هارمونیک
Envelope Function	تابع پوش
Intersubband Relaxation	تنزل بین زیرباند
Central Cell	سلول مرکزی
Spectroscopy	طیف نمایی
Longitudinal Acoustic (LA)	فونون آکوستیک طولی
Phonon	
Polar Longitudinal Opti-	فونون نوری قطبی طولی
cal (PLO) Phonon	
Fermi Golden Rule	قانون طلایی فرمی
Far Infrared	مادون قرمز شدید
	نقطه مش
Population Inversion	وارونگی جمعیت
Coherence	همدوس
Hamiltonian	همیلتونین

برای فونون‌های آکوستیک $V_s q = V_s q(\omega)$ و برای فونون‌های نوری $\omega_0 = cte$ می‌باشد. در روابط بالا، $N(\omega)$ توزیع بوز-اینشتین، V_s سرعت صوت در ماده، ρ جرم حجمی ماده، Ω و D_A به ترتیب پتانسیل انرژی فونون‌های نوری، e_{ph} ثابت تغییر شکل فونون‌های آکوستیک و نوری، $\epsilon(\infty)$ پیزوالکتریک ماده و $\epsilon(0)$ و $\epsilon(\infty)$ ثابت دی الکتریک فرکانس پایین و فرکانس بالای ماده می‌باشند.

واژه‌نامه

Overlap Integral	انتگرال همپوشانی
Bulk	بدنه‌ای
In - plane Wave Vector	بردار موج صفحه‌ای

مراجع

- [1] B. E. A. Saleh and M. c. Teich, C. Teich, Fundamentals of Photonics (John Wiley & Sons, New York, 1991).
- [2] K. M. Lau and W. Xu, IEEE J. Quantum electron. **28**, 400 (1992).
- [3] J. Faist, F. Capasso, C. Sirtori, D. Sivco, A.L. Hutchinson, S.G. Chu, and A. Y. Cho, Science **64**, 1144 (1994).
- [4] M. S. Landstrum, Modular Series on Solid State Devices Vol. X, Transport Phenomena for Device Applications (Addison-Wesley, California, 1990).
- [5] J. Singh, Physics of Semiconductors and Their Heterostructures (McGraw-Hill, New York, 1993).
- [6] A. Yariv. Quantum Electronics, 3rd edition (John-Wiley & Sons, New York, 1989).
- [7] N. W. Ashcroft, N. D. Mermin, Solid State Physics, (Saunders College, Fort worth, 1976).
- [8] B. Nag, Electron Transport in Compound Semiconductors (Springer-Verlag, New York, 1980).
- [9] آنالیز عددی، ترجمه على اکبر عالم زاده، اسماعیل بابلیان و محمدرضا امیدوار، چاپ سوم (نشر منصوری، ۱۳۷۵).
- [10] C. M. Wolf, N. Holonyak, Jr., and Gregory E. Stillman, Physcial Properties of Semiconductors (Prentice Hall, New Jersey, 1989).
- [11] U. Bockelmann, G. Bastard, Phys. Rev. B **42**, 8947 (1990).